

УДК 535.3

**ЧИСЛЕННОЕ МОДЕЛИРОВАНИЕ ИЗОБРАЖЕНИЯ
ТОЧЕЧНОГО ИСТОЧНИКА
ПРИ ОТНОСИТЕЛЬНОМ ДВИЖЕНИИ
ПРИЕМНИКА ИЗЛУЧЕНИЯ И АТМОСФЕРЫ**

А.Н.Кучеров, Н.К.Макашев, Е.В.Устинов

Предлагается процедура численного моделирования параметров мгновенных и усредненных по различным интервалам времени изображений удаленного точечного источника, возмущенных турбулентной атмосферой, движущейся относительно приемника излучения. Приведены и анализируются примеры соответствующих расчетов параметров изображения в условиях существенного влияния атмосферной турбулентности в приближении геометрической оптики.

При описании параметров изображения, формируемого в фокальной плоскости приемного устройства оптическим излучением, прошедшим через турбулентную атмосферу, обычно пользуются среднестатистическими характеристиками излучения [1-3]. Интервал, за который осуществляется усреднение, составляет, как правило, секунды и более длительные отрезки времени. Между тем, на практике возможны ситуации, когда времена усреднения изображений должны иметь существенно меньшую величину. В этом случае на первый план выдвигаются свойства мгновенных изображений. Для формирования требований к оптическим приемным устройствам, работающим в таких условиях, может быть использовано численное воспроизведение мгновенных изображений с их последующей статистической обработкой, основанное на методах статистического моделирования. Следует отметить, что из множества методов, описывающих распространение оптического излучения в турбулентной среде (метод геометрической оптики, метод плавных возмущений Рытова, метод моментов и т.д.) метод статистического моделирования на ЭВМ [4-6] является одним из наименее распространенных ввиду того, что требует больших ресурсов (машинной памяти и машинного времени). Однако, при достаточно коротком времени усреднения, метод статистического моделирования является, по-видимому, единственным возможным для получения характеристик возмущенного турбулентностью атмосферы излучения.

В настоящей работе исследуются характеристики изображения при коротких временах экспозиции в случае относительного движения турбулентной среды и приемника излучения.

Рассмотрим достаточно удаленный источник излучения (в общем случае некогерентного). Тогда на апертуре приемника будем иметь плоскую волну когерентного излучения. Радиус когерентности в однородной среде, как известно [7], увеличивается из-за дифракции пропорционально расстоянию z от источника. Для источника некогерентного излучения размера a он составляет $r_k \simeq z/ka$, где $k = 2\pi/\lambda$ — в лновое число, λ — длина волны излучения. Под плоской волной подразумеваем такую, для которой отклонение Δz формы поверхности волнового фронта от плоскости на величине апертуры d значительно меньше длины волны λ . Это выполняется при малых числах Френеля $F = k(d/2)^2/z \ll 1$, построенных по диаметру апертуры d .

Предположим, что в главном приближении возмущение оптического излучения в плоскости апертуры приемника сводится к возмущению фазы. Флуктуирующую часть показателя преломления $n_1 = n - \langle n \rangle$ (где $\langle n \rangle$ — среднее значение показателя преломления) разложим по пространственным частотам $\vec{\alpha}$ в двумерный интеграл Фурье-Стильеса [2]

$$n_1(\vec{r}) = \iint \exp(i\vec{\alpha}\vec{\rho}) d\nu(\vec{\alpha}, z). \quad (1)$$

Здесь $\alpha = 2\pi/l$, радиус вихря l изменяется от минимального $l_0 \sim \sim 10^{-3}$ м $\div 10^{-2}$ м, l_0 — внутренний масштаб турбулентности, до максимального $L_0 \sim 10^1$ м $\div 10^2$ м, L_0 — внешний масштаб турбулентности, $\vec{r} = (x, y, z)$ — трехмерный вектор, $\vec{\rho} = (x, y)$ — двумерный вектор. В приближенной параксиальной оптике ($|z - z'| \gg |\vec{\rho}' - \vec{\rho}|$) флуктуирующая фаза излучения в плоскости приемника на расстоянии z может быть записана в следующем виде

$$\varphi_1(x, y, z) = \varphi - \langle \varphi \rangle = \iint e^{i\vec{\alpha}\vec{\rho}} \left[k \int_0^z dz' d\nu(\vec{\alpha}, z') \cos \left(\frac{\alpha^2(z - z')}{2k} \right) \right]. \quad (2)$$

Выражение в квадратных скобках можно считать аналогом величины $d\nu(\vec{\alpha}, z)$ в формуле (1). Ковариационная функция флуктуирующей фазы, после интегрирования по продольной координате z , описывается выражением [4]

$$B(\rho, z) = \langle \varphi_1(\vec{\rho}_1 + \vec{\rho}, z) \varphi_1(\vec{\rho}_1, z) \rangle = \iint e^{i\vec{\alpha}\vec{\rho}} G^2(\alpha_x, \alpha_y) d^2 \vec{\alpha}, \quad (3)$$

$$G(\alpha_x, \alpha_y) = \frac{k [0,033 \cdot 4\pi \int_0^z C_n^2(z') dz']^{1/2}}{[\alpha_0^2 + \alpha_x^2 + \alpha_y^2]^{11/12}} e^{-\frac{\alpha_x^2 + \alpha_y^2}{2\alpha_m^2}}, \quad (4)$$

$$\alpha_0 = 2\pi/L_0, \quad \alpha_m = 2\pi/l_0.$$

Здесь $G^2(\alpha_x, \alpha_y) \equiv \Phi(\alpha_x, \alpha_y, 0)$ — двумерная спектральная плотность флюктуирующей фазы, $C_n^2(z)$ — структурная характеристика показателя преломления. Сущность предлагаемого подхода состоит в том, что влияние атмосферной турбулентности описывается фазовым экраном, расположенным вблизи апертуры.

Выражению (3) для ковариационной функции соответствует, в частности, флюктуирующая фаза φ_1 следующего вида:

$$\varphi_1(x, y, z) = \iint e^{i[\alpha_x x + \alpha_y y + \psi(\alpha_x, \alpha_y)]} G(\alpha_x, \alpha_y) \sqrt{d\alpha_x d\alpha_y}, \quad (5)$$

где $\psi(\alpha_x, \alpha_y)$ — случайная функция, равномерно распределенная в интервале $[0, 2\pi]$.

В расчетах интеграл заменим на дискретные суммы

$$\begin{aligned} \varphi_1(\Delta x k, \Delta y l) &= \sum_{n=-\frac{N_x}{2}}^{\frac{N_x}{2}} \sum_{m=-\frac{N_y}{2}}^{\frac{N_y}{2}} \exp\{i(n \Delta \alpha_x k \Delta x + m \Delta \alpha_y l \Delta y + \psi)\} \cdot \\ &\quad \cdot G(\alpha_x, \alpha_y) \sqrt{\Delta \alpha_x \Delta \alpha_y}, \end{aligned} \quad (6)$$

$$\alpha_x = n \Delta \alpha_x, \quad \alpha_y = m \Delta \alpha_y, \quad x = -\frac{L_x}{2} + (k-1) \Delta x, \quad y = -\frac{L_y}{2} + (l-1) \Delta y.$$

Шаги суммирования $\Delta \alpha_x, \Delta \alpha_y$ по пространственным частотам спектра связаны с размерами расчетной области L_x, L_y в физических координатах: $\Delta \alpha_x = 2\pi/L_x$, $\Delta \alpha_y = 2\pi/L_y$.

При вычислениях применялось быстрое преобразование Фурье. Число узлов расчетной сетки выбирали равным кратным двум: $N_x = 2^7 = 128$, $N_y = 2^7 = 128$. Размеры расчетной области приняли равными двум диаметрам апертуры: $L_x = 2d$, $L_y = 2d$.

Вычисленное на апертуре случайное поле значений фазы $\varphi(x, y)$ использовалось для построения дифракционной картины от равномерно освещенного круглого отверстия диаметра d в фокальной плоскости приемника, отстоящей от апертуры на расстоянии f . Изображение строилось в безразмерных угловых координатах $\bar{x} = (x/f)/(\lambda/d)$, $\bar{y} = (y/f)/(\lambda/d)$. Интеграл Кирхгоффа заменяли дискретными суммами Фурье и применяли быстрое Фурье-преобразование. Расчет одного изображения занимал 1–2 минуты на ЭВМ типа VAX-11/750. В отсутствие турбулентности получается известная дифракционная картина с центральным максимумом [8]. Типичная картина мгновенного изображения при наличии атмосферной турбулентности приведена на рис.1. Представлены профиль фазы $\varphi(x, y = 0)$ на апертуре (рис.1,а), профиль распределения интенсивности в фокусе $I(x, y = 0) = I_{\text{фн}}/(I_0 F_f^2/4)$ (рис.1,б) и изофоты в фокальной плоскости (рис.1,в). Здесь I_0 — интенсивность падающей на апертуру однородной волны, $F_f = k/f \cdot (d/2)^2$

— число Френеля в фокальной плоскости. При расчетах приняли: внутренний и внешний масштабы турбулентности $l_0 = 0,02$ м, $L_0 = 40$ м, $d = 0,5$ м, $\Delta x = 7,8 \cdot 10^{-3}$ м = Δy ; радиус когерентности $r_p = 0,06$ м; скорость перемещения приемника $V = 240$ м/с.

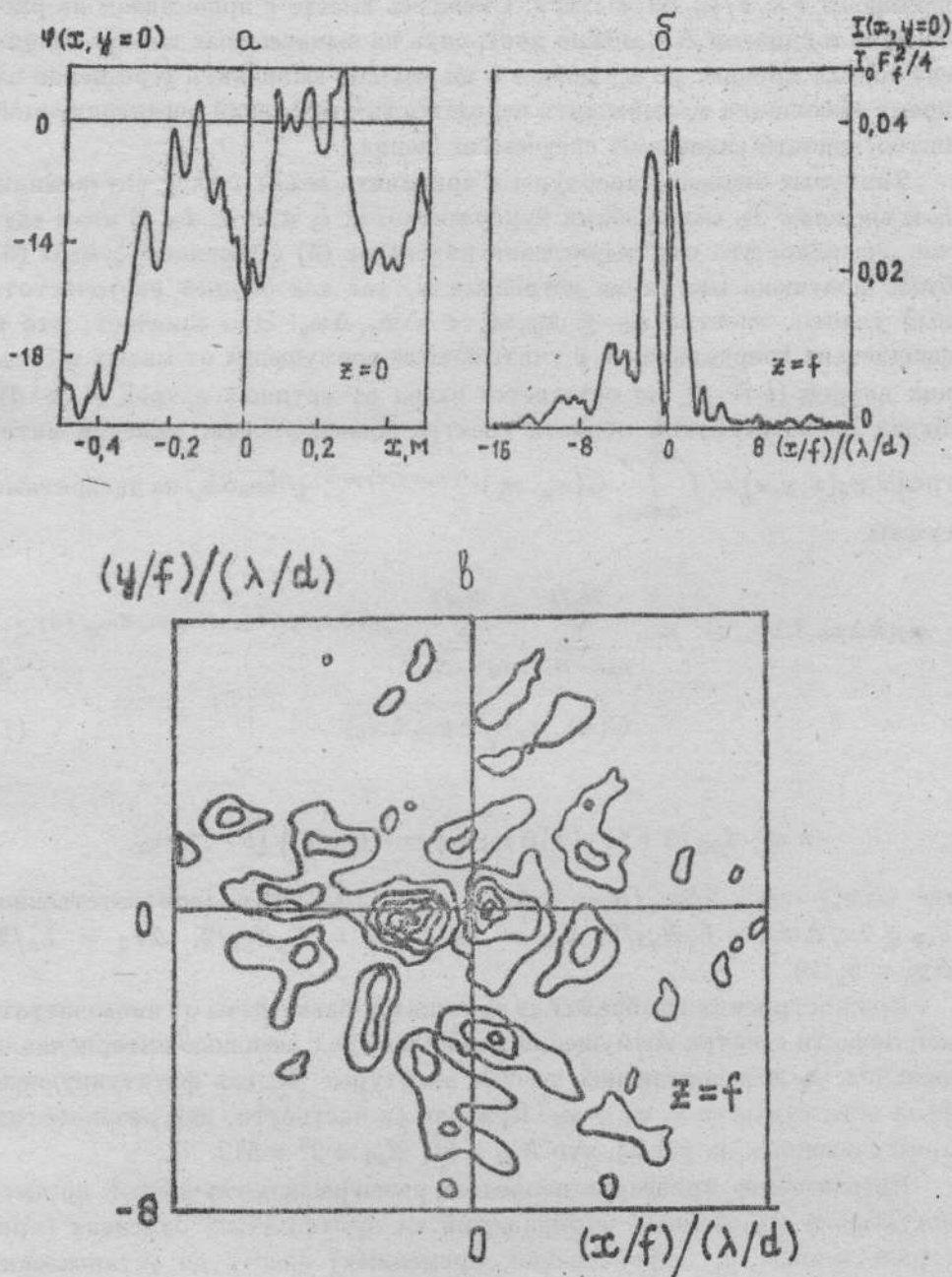


Рис.1:

Если совместить одну из осей (например, ось x) с направлением движения приемника относительно атмосферы, гипотеза "замороженной" турбулентности [1] позволяет установить простое соотношение между расстоянием перемещения приемника x со скоростью V и физическим временем: $t = x/V$, $\Delta t = \Delta x/V$. Сместившись вместе с приемником на расстояние x с шагом Δx , можно построить на вычисленных изображениях случайный процесс по времени t с шагом Δt , выполнить усреднение за время экспозиции τ , вычислить вероятность отклонений регистрируемой интенсивности сигнала от среднего значения.

Типичные значения апертуры d приемника лежат между внутренним l_0 и внешним L_0 масштабами турбулентности $l_0 \ll d \ll L_0$. В этом случае очевидно, что при вычислении интеграла (5) с помощью суммы (6) будет допущена опущимая погрешность, так как опущен низкочастотный участок спектра $\omega_0 \leq \omega_x, \omega_y < \Delta\omega_x, \Delta\omega_y$. Это означает, что в физических координатах x, y учитываются возмущения от малых и средних вихрей ($l \lesssim d$), но опускается вклад от крупных вихрей ($l \gg d$). Вклад низкочастотной области спектра можно учесть, заменив интегралы $\varphi_2(x, y, z) = \int_{-\Delta\omega_x, y}^{\Delta\omega_x, y} G(\omega_x, \omega_y) e^{i(\omega_x x + \omega_y y + \psi)} \sqrt{d\omega_x d\omega_y}$ на дискретные суммы

$$\varphi_2(k\Delta x_2, l\Delta y_2, z) = \sum_{n_2=-N_x/2}^{N_x/2} \sum_{m_2=-N_y/2}^{N_y/2} e^{i(k\Delta x_2 n_2 \Delta\omega_{x2} + l\Delta y_2 m_2 \Delta\omega_{y2} + \psi)} G(\omega_x, \omega_y) \sqrt{\Delta\omega_{x2} \Delta\omega_{y2}}, \quad (7)$$

$$x = -L_{x2}/2 + (k-1)\Delta x_2; \quad y = -L_{y2}/2 + (l-1)\Delta y_2,$$

где $\Delta\omega_{x2} = 2\Delta\omega_x/N_{x2}$, $\Delta\omega_{y2} = 2\Delta\omega_y/N_{y2}$ (соответственно, $L_{x2} = 2\pi/\Delta\omega_{x2} = L_x N_{x2}/2$, $L_{y2} = 2\pi/\Delta\omega_{y2} = L_y N_{y2}/2$, $\Delta x_2 = L_x/2$, $\Delta y_2 = L_y/2$).

При построении изображения значения добавки фазы от низкочастотной области спектра возмущений можно учесть с помощью интерполяции функции φ_2 в недостающих точках апертуры: полная флюктуирующая фаза есть сумма $\varphi = \varphi_1 + \varphi_2$. Приняли (в частности, для результатов, представленных на рис.1), что $N_{y2} = 2^7$, $N_{x2} = 2^9 = 512$.

Предлагаемая процедура позволяет разыгрывать случайный процесс построения мгновенных изображений на протяженных отрезках (пространственных и, следовательно, временных) вплоть до установления среднестатистических характеристик.*

* Впервые аналогичная процедура была использована, по-видимому, в [9, 10].

Расчеты проводились в следующей последовательности. Сначала в области (L_{x2}, L_{y2}) вычислялись и запоминались значения некоэнергетических возмущений фазы φ_2 . Затем смещали апертуру приемника в направлении x по указанной области с шагом $\sim \Delta x_2$ ($\Delta t \sim \Delta x_2/V$) и на каждом шаге вычисляли полную флуктуирующую фазу φ , а также соответствующее ей изображение в фокальной плоскости приемника. Осуществлялся контроль за пиком интенсивности $\bar{I}_{\max} = \max_{x,y} \{\bar{I}(\bar{x}, \bar{y})\}$ и его среднестатистическим значением $\langle \bar{I}_{\max}(k) \rangle = [\langle \bar{I}_{\max}(k-1) \rangle \cdot (k-1) + \bar{I}_{\max}(k)]/k$ (где k — число испытаний, т.е. число узлов, на которое происходило смещение в направлении оси x), средним размером \bar{r}_c , средней по пучку интенсивности $\bar{I}_{\text{ср}}$ и смещением центра тяжести изображения \bar{r}_t в фокальной плоскости приемника при $z = f$ [3]:

$$\bar{r}_c = \sqrt{\iint_{-\infty}^{+\infty} (\bar{x}^2 + \bar{y}^2) \bar{I}(\bar{x}, \bar{y}) d\bar{x} d\bar{y}} / \bar{W}, \quad (8)$$

$$\bar{I}_{\text{ср}} = \bar{W} / \pi \bar{r}_{\text{ср}}^2; \quad \bar{W} = \iint_{-\infty}^{+\infty} \bar{I}(\bar{x}, \bar{y}) d\bar{x} d\bar{y}, \quad (9)$$

$$\bar{r}_t = \iint_{-\infty}^{+\infty} \bar{\rho} \bar{I}(\bar{x}, \bar{y}) d\bar{x} d\bar{y} / \bar{W}. \quad (10)$$

Здесь \bar{W} — полная обезразмеренная мощность излучения в фокальной плоскости. Средний размер \bar{r}_c ($r_{\text{фир}} = \bar{r}_c \lambda f/d$) устанавливается по числу испытаний k за несколько испытаний (смещений) и его отклонения от среднестатистического значения $\langle \bar{r}_c(k) \rangle = [\langle \bar{r}_c(k-1) \rangle \cdot (k-1) + \bar{r}_c(k)]/k$ пре-небрежимо малы. Физически это означает, что средний размер изображения определяется мелкомасштабной (высокочастотной) областью спектра турбулентности в атмосфере. Аналогично, средняя по изображению интенсивность $\bar{I}_{\text{ср}}$ испытывает незначительные отклонения (в несколько %) от своего среднестатистического значения $\langle \bar{I}_{\text{ср}} \rangle$. Отклонения пика интенсивности \bar{I}_{\max} от среднестатистического значения $\langle \bar{I}_{\max} \rangle$ могут быть соизмеримы с этим среднестатистическим значением (в частности, для примера, приведенного на рис.1, они достигают 100%). Дисперсия смещения центра тяжести $\sigma_t = \sqrt{\langle \bar{r}_t^2 \rangle - \langle \bar{r}_t \rangle^2}$ устанавливается за десятки или даже сотни испытаний k , что соответствует смещению вдоль оси x на расстояния, соизмеримые с внешним масштабом турбулентности L_0 . Среднее смещение центра тяжести распределения интенсивности $\langle \bar{r}_t \rangle$, как и следовало ожидать, близко к нулю.

Угловое разрешение приемника оптического излучения определяется размером чувствительной площадки r_m и составляет по порядку вели-

чины $\sim r_m/f$. Ввиду ограничения на угловое разрешение, накладываемое дифракцией ($\Theta_{\min} \sim \lambda/d$), размеры площадки ограничены снизу: $r_m \geq \lambda f/d$. Предположим, что в фокальной плоскости расположена пластина с размерами чувствительной площадки $\tilde{x}_m = 10\Delta\tilde{x}$, $\tilde{y}_m = 10\Delta\tilde{y}$ ($x_m = 2,5\lambda f/d$, $y_m = 2,5\lambda f/d$) и проследим за средней интенсивностью энергии \bar{I}_m , приходящейся на ячейку, включающую пик интенсивности (расчеты были выполнены также для ячейки, включающей координату центра тяжести $\tilde{r}_t = (\tilde{x}_t, \tilde{y}_t)$, но энергия, попадающая на последнюю, и соответствующая средняя интенсивность \bar{I}_t всегда оказываются не выше величины \bar{I}_m). Отклонения средней интенсивности (или мощности) на ячейку от соответствующей среднестатистической величины $\langle \bar{I}_m \rangle$, как показал анализ, могут составлять десятки процентов. Следовательно, при достаточно короткой временной экспозиции и наличии существенного влияния атмосферной турбулентности приемник будет регистрировать случайный сигнал. На рис.2 построены зависимости от времени величины $\bar{I}_m(t)$ при времени экспозиции приемника τ , равном $\tau = \Delta t \approx 2,08 \cdot 10^{-3}$ с (кривая 1), $\tau = 10\Delta t \approx 2,08 \cdot 10^{-2}$ с (кривая 2), $\tau = 30\Delta t \approx 6,24 \cdot 10^{-2}$ с (кривая 3) и $\tau = t$ (кривая 4).

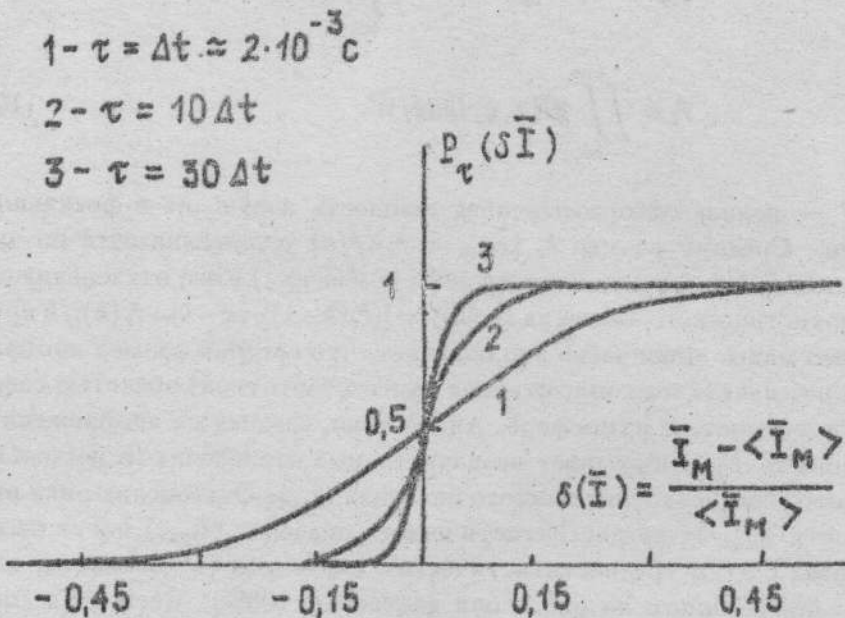


Рис.2:

Отклонения сигнала от среднего значения уменьшаются при увеличении времени усреднения τ . Однако, в любой момент времени при конечном заданном времени экспозиции приемник будет регистрировать пульсирующий случайным образом сигнал. Индекс мерцания $\beta_I =$

$= \sqrt{\langle \bar{I}_M \rangle^2 - \langle \bar{I}_M^2 \rangle} / \langle \bar{I}_M \rangle$ составляет $\beta_I = 0,358 - 0,0332$ при $\tau = \Delta t - 30\Delta t$. На рис.3 приведены вероятности $P_\tau(\delta \bar{I})$ того, что отклонение регистрируемой величины \bar{I}_M от ее среднего значения $\langle \bar{I}_M \rangle$ меньше наперед заданной величины этого отклонения $\delta \bar{I}_M = (\bar{I}_M - \langle \bar{I}_M \rangle) / \langle \bar{I}_M \rangle$ при различных временах экспозиции τ . Обозначения такие же, как и на рис.2. Пологая при малых τ кривая $P_\tau(\delta \bar{I})$ становится все более крутой с увеличением τ и в пределе максимально больших τ близка к ступенчатой функции Хеисайда.

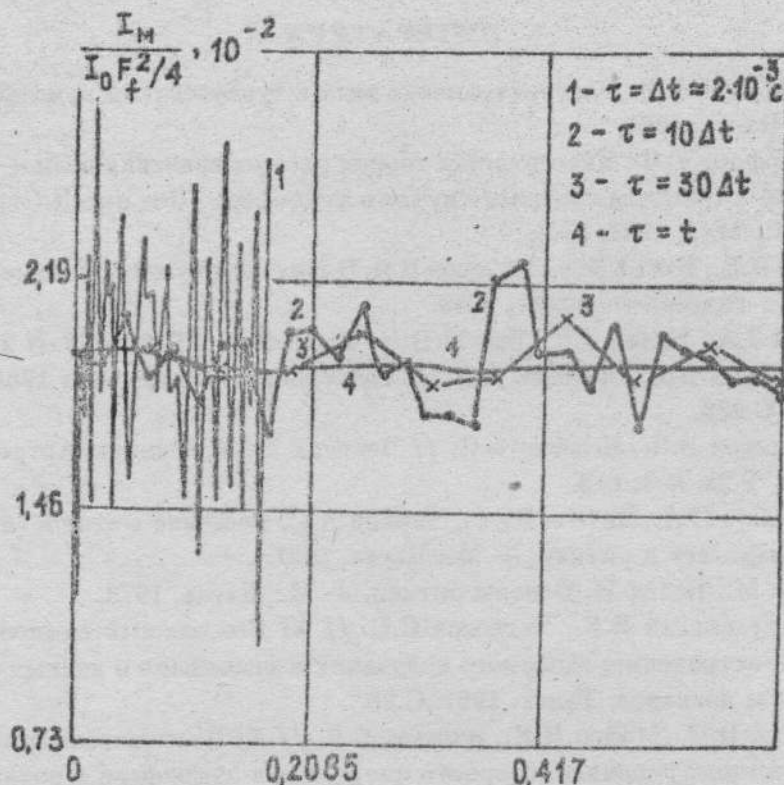


Рис.3:

Если при малом фиксированном времени экспозиции τ увеличивать площадь чувствительной площадки $S = x_M y_M$, амплитуда отклонения от среднего значения будет уменьшаться. Вероятность $P_S(\delta \bar{I})$ того, что отклонение $\delta \bar{I} = (\bar{I}_S - \langle \bar{I}_S \rangle) / \langle \bar{I}_S \rangle$ меньше наперед заданного значения, будет изменяться при увеличении площади S таким же образом, как зависимость $P_\tau(\delta \bar{I})$ при увеличении времени экспозиции τ . Максимально крутую зависимость $P_S(\delta \bar{I})$ будем иметь при условии, что на площадь S чувствительной ячейки попадает все пятно (изображение). Тем не менее, не следует забывать, что угловое разрешение приемника при увеличении S уменьшается.

Предложенная процедура построения мгновенных изображений и их среднестатистических характеристик при коротких временах экспозиции приемника может быть расширена на общий случай, когда в плоскости апертуры существенно флуктуирует не только фаза, но и интенсивность излучения падающей волны из-за влияния атмосферной турбулентности. Для ограниченных пучков описанный процедура применима к параболическому уравнению параксиальной оптики, учитывающему дифракцию [4].

ЛИТЕРАТУРА

1. Татарский В.И. Распространение волн в турбулентной атмосфере. — М.: Наука, 1967.
2. Клиффорд С.Ф. Классическая теория распространения волн. — В кн.: Распространение лазерного пучка в атмосфере /Под ред. Д.Стробена. — М.: Мир, 1981. Гл.2.
3. Зуев В.Е., Банах В.А., Пекасов В.В. Оптика турбулентной атмосферы. — Л.: Гидрометеоиздат, 1988.
4. Flock J.A., Morris J.R., Feit M.D. // Appl. Phys. 1976. V.10. N 2. P.129.
5. Каидиров В.П., Леденев В.И. // Изв.вузов. Радиофизика. 1981. Т.24. N 4. С.438.
6. Каидиров В.П., Леденев В.И. // Вестник МГУ. Физика. Астрономия. 1982. Т.23. N 1. С.3.
7. Ахманов С.А., Дьяков Ю.Е., Чиркин А.С. Введение в статистическую радиофизику и оптику. — М.: Наука, 1981.
8. Бори М., Вольф Э. Основы оптики. — М.: Наука, 1973.
9. Тельпуховский И.Е., Чесноков С.С. // XI Всесоюзный симпозиум по распространению лазерного излучения в атмосфере и водных средах. Тезисы докладов. Томск. 1991. С.28.
10. Лукин В.П., Майер Н.Н., Фортес Б.В. // XI Всесоюзный симпозиум по распространению лазерного излучения в атмосфере и водных средах. Тезисы докладов. Томск. 1991. С.156.

Поступила в редакцию
29 апреля 1992 г.

NUMERICAL SIMULATION OF A POINT SOURCE IMAGE UNDER
RELATIVE MOTION RECEIVER OF RADIATION AND THE
ATMOSPHERE

A.N.Kucherov, N.K.Makashev, E.V.Ustinov

The numerical procedure is proposed for modelling parameters of the point source instant-images and that averaged upon different time intervals under the atmospheric turbulence. The examples of calculated instant-image parameters are demonstrated and analysed in the case of significant influence of the atmospheric turbulence for the geometrical optics approximation.